

# Υ 的三胶子碎裂

田丽丽 谢去病<sup>1)</sup>

(济南大学物理系 250002) (山东大学物理系, 济南 250100)

## 摘要

至今, 只有 Lund 模型能定性说明 Υ 三胶子碎裂的高重子产额, 却没有一个模型能定量解释 ARGUS 组的精密测量结果。本文把我们成功解释了  $e^+e^- \rightarrow q\bar{q} \rightarrow 2\text{jet}$  的夸克产生律与组合律, 取代 Lund 弦碎裂模型, 直接用到  $\Upsilon \rightarrow 3g$  的色弦上。发现不附加任何参数, 即与 ARGUS 的结果符合得很好。

## 一、引言

胶子碎裂机制的研究, 是当前粒子物理一个重要前沿课题。从  $\Upsilon(1s)$  粒子研究胶子碎裂, 比研究高能反应连续区的胶子、夸克喷注, 有许多优点:(a)根据微扰 QCD,  $\Upsilon(1s)$  的强衰变只能通过三胶子碎裂, 纯粹是胶子碎裂的结果, 没有区分夸克、胶子喷注(碎裂)的困难;(b)作为纯胶子源的  $\Upsilon(1s)$  共振, 无论在  $e^+e^-$  或  $h-h$  反应中, 都比连续区的胶子喷注产生截面大得多;(c) $\Upsilon$  强衰变的实验结果, 包括了三胶子所有可能的角度和能量分布, 正好回避了后一种情况中, 测定各喷注间夹角, 确定碎裂胶子能量的不确定性;(d)高能喷注虽提高了鉴别胶子、夸克喷注及其能量的精度, 但又包含了部分子级联过程的重要影响。 $\Upsilon \rightarrow 3g \rightarrow h's$  中, 胶子能量很低( $E_i \leq \frac{M_\Upsilon}{2} = 4.73\text{GeV}$ ), 强子末态更直接地反映了胶子的强子化机制。

实验发现,  $\Upsilon \rightarrow 3g$  碎裂与相近能量的  $e^+e^- \rightarrow q\bar{q}$  碎裂相比, 虽然各种介子的产额几乎相同, 但各种重子都多 2 到 3 倍<sup>[4]</sup>。这一规律, 其它模型都无法解释, 只有 Lund 模型能定性说明<sup>[1-3]</sup>。但进一步的研究证实, 即使调整模型中许多自由参数, 仍不能定量解释近来 ARGUS 组精细测量的  $\Upsilon$  衰变的各种粒子产额和其它一系列特征<sup>[4]</sup>。

Lund 模型在解释  $e^+e^-$  反应连续区现象中取得广泛成功。而在定量解释  $\Upsilon \rightarrow 3g \rightarrow h's$  上的失利, 有两种可能性:一是  $\Upsilon \rightarrow 3g$  的色弦结构图象有问题;二是, 虽然色弦结构基本是对的, 但其弦碎裂模型对强子化的描述, 尤其对重子产生的描述, 本来就不够好。

为检查第一种可能, 我们在文献[5]中, 直接从颜色波函数, 用 QCD 全面分析了  $\Upsilon \rightarrow$

• 国家自然科学基金资助。

1)中国高等科技中心成员;中国科学院理论物理所客座人员。

本文 1992 年 9 月 7 日收到。

$3g$  的色弦结构. 发现 Lund 假定的图象, 是近似成立的. 为检查第二种可能, 本文用在  $e^+e^- \rightarrow 2\text{jet}$  中已被检验对描述强子化, 尤其对重子产生更简洁有效的夸克产生律和组合律<sup>[6]</sup>, 取代 Lund 弦碎裂模型, 并直接用在上述色弦结构上, 计算  $T \rightarrow 3g \rightarrow h's$  的各种粒子产生率.

## 二、 $T \rightarrow 3g$ 的色弦结构和 Dalitz 图

在文献[5]中, 我们直接从  $T$  衰变的  $3g$  系统颜色波函数出发, 用 QCD 仔细分析了这种系统的色弦结构. 发现 97% 的几率的确如 Lund 模型假定的那样, 形成三条联接三个胶子的三重态引力色弦, 这三条联接构成封闭三角形的弦是色单态弦. 另有 3% 的几率, 则只能形成两条色三重态弦, 这是 Lund 模型未料到的. 我们的检验表明, 色弦结构的这一修正, 对最后结果影响不大. 因此我们在本文下面计算中, 对  $T \rightarrow 3g$  的色弦结构, 采用 Lund 模型同样的近似, 以对比不同弦碎裂(强子化)模型的影响.

在  $T$  静止系中, 这三个胶子分别具有能量  $E_1, E_2, E_3$  和动量  $\mathbf{p}_1, \mathbf{p}_2, \mathbf{p}_3$ . 而胶子  $i$  和胶子  $j$  之间的色弦, 则是作为双色荷系统的胶子中, 一个色荷与另一胶子中色荷之间的引力场. 因此这每条弦的能量  $E_{ij}$  及动量  $\mathbf{p}_{ij}$  为:

$$E_{ij} = \frac{1}{2}(E_i + E_j) = \frac{1}{2}(|\mathbf{p}_i| + |\mathbf{p}_j|) \quad (1)$$

$$\mathbf{p}_{ij} = \frac{1}{2}(\mathbf{p}_i + \mathbf{p}_j) \quad (2)$$

(1) 式已用到胶子质量为零的条件. (2) 式表明, 在  $T$  静止系, 即  $3g$  系统的质心系中, 这三条色弦都不是静止的, 而是“横向激发”的. 只有每条弦在其固有质心系中的能量, 即不变质量  $M_{ij}$ , 提弦具有的全部势能, 即能够通过 QCD 真空激发产生新的夸克对的有效能(见图 1). 显然:

$$M_{ij} = \sqrt{E_{ij}^2 - |\mathbf{p}_{ij}|^2} = \sqrt{\frac{\mathbf{p}_i \cdot \mathbf{p}_j}{2}(1 - \cos\theta_k)} \quad (3)$$

其中  $i, j, k$  取 1, 2, 3 轮换,  $\theta_k$  是  $\mathbf{p}_i$  与  $\mathbf{p}_j$  间的夹角. 四动量守恒:

$$\left. \begin{aligned} M_T &= E_1 + E_2 + E_3 \\ O &= \mathbf{p}_1 + \mathbf{p}_2 + \mathbf{p}_3 \end{aligned} \right\} \quad (4)$$

确定了三个胶子能量与角度分布间的一一对应关系. 其中  $M_T$  表示  $T$  粒子的静质量.  $T \rightarrow 3g$  的运动学物理区, 可用 Dalitz 图表示. 因胶子静质量为零, 是极端相对论情况,  $E_1, E_2, E_3$  的物理区是图 2 Dalitz 图中的倒三角形<sup>[7]</sup>. 但注意其中三个顶点是非物理点, 必须扣除. 物理区中每个点对应三个胶子能量或角度分布确定的一个状态,  $T$  跃迁到这一状态的几率密度  $d\omega_{ba}$  则为:

$$d\omega_{ba} \propto |\mathbf{m}_{ba}|^2 ds \quad (5)$$

$ds$  为 Dalitz 图中这物理点附近的面积元,  $\mathbf{m}_{ba}$  是从  $T$  跃迁到三胶子态的不变振幅, 可表示

为 Dalitz 图中物理点的密度. 它确定了三个胶子取相应角分布的权重.

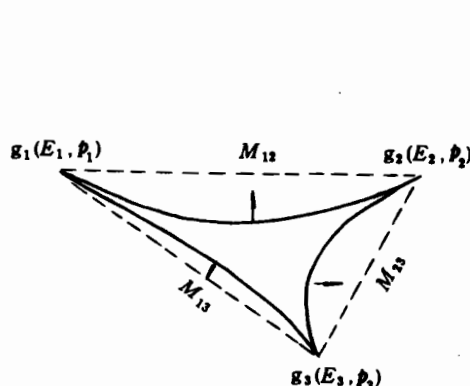


图 1 Lund 模型中,  $T \rightarrow 3g$  的色弦结构: 三个胶子间都有三重态色弦, 三条弦都有“横向激发”, 在各自质心系中, 能量为  $M_{ij}$ . 总体则构成一条三角形封闭弦.

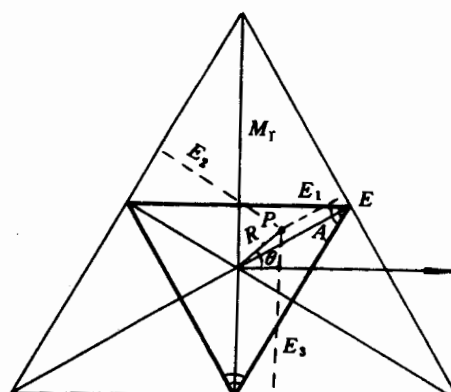


图 2  $T \rightarrow 3g$  衰变的 Dalitz 图

物理区为除去三顶点的中间倒立三角形, 任一物理点  $P$  可用极坐标  $(R, \theta)$  表出. 其对应三个胶子的能量为  $E_1, E_2, E_3$ , 它们也是  $R, \theta$  的函数.

A. Ore 等人从 QED 得到  $1^-$  电子偶素衰变为三个光子的跃迁振幅<sup>[8]</sup>. S. T. Brodsky 和 Harald Fritzsch 等论证了  $T \rightarrow 3g$  QCD 过程的跃迁振幅, 实际与上一过程相同, 即<sup>[9]</sup>:

$$|\mathbf{m}_{ba}|^2 \propto \left\{ \frac{[(M_T/2) - E_1]^2}{E_2^2 E_3^2} + \frac{[(M_T/2) - E_2]^2}{E_1^2 E_3^2} + \frac{[(M_T/2) - E_3]^2}{E_1^2 E_2^2} \right\} \quad (6)$$

因此, 用(1)–(3)可算出三胶子在任一运动学状态时, 它们间三条色弦的固有能量  $M_{ij}$ ; 利用(5)、(6)式则可算出这组胶子或色弦能量的权重.

### 三、“夸克产生律”和“夸克组合律”

正如引言中所述, Lund 模型对  $T$  衰变的处理, 是把 Lund 的  $e^+e^- \rightarrow q\bar{q} \rightarrow 2 \text{ jet}$  中的  $q\bar{q}$  弦碎裂模型, 搬到上述  $T \rightarrow 3g$  的色弦碎裂上, 因此后的碎裂完全由前者确定, 不需引入新的自由参数<sup>[3]</sup>. 在文献[6]中, 我们也提出了一个  $q\bar{q}$  碎裂模型, 统一解释了  $e^+e^- \rightarrow q\bar{q} \rightarrow 2 \text{ jet}$  的大量实验现象和基本规律. 与包括 Lund 模型在内的其它唯象模型相比, 其突出优点是自由参数很少, 并能统一给出重子与介子的产生. 而用于  $T \rightarrow 3g$  的  $q\bar{q}$  轻夸克碎裂, 只有一个可调参数, 而且已由  $e^+e^- \rightarrow 2 \text{ jet}$  的实验定出. 下面对本文用到的“夸克产生律”和“夸克组合律”作简单介绍.

#### (1) 夸克产生律

按照夸克产生律, 当荷色体( $q, \bar{q}$  或  $g$ ) $i$  与  $j$  之间色弦的能量(即弦的不变质量  $M_{ij}$ )为  $Q$  时, 根据能量守恒, 它在强子化前能够通过 QCD 真空激发产生的结构夸克对  $q\bar{q}$  的平均数  $\langle N_{ij} \rangle$  是:

$$Q (= M_{ij}) = 2\langle N_{ij} \rangle m + \langle N_{ij} \rangle (2\langle N_{ij} \rangle - 1)V \quad (7)$$

$m$  是这些结构夸克的平均质量. 以目前公认的  $u, d, s$  夸克质量及其产生比例  $1 : 1 : 0.3$  代入,  $m = 0.36 \text{ GeV}$ .  $V$  是强子化前这  $2\langle N_{ij} \rangle$  个  $q$  和  $\bar{q}$  两两间相互作用的平均势能. 由(7)

式,即得由  $M_{ij}$  值计算  $\langle N_{ij} \rangle$  的公式:

$$\langle N_{ij} \rangle = (\alpha^2 + \beta M_{ij})^{\frac{1}{2}} - \alpha \quad (8)$$

$$\text{其中 } \beta = (2V)^{-1} \quad \alpha = \beta m - \frac{1}{4} \quad (9)$$

这就是“夸克产生律”.  $\beta$ (即  $V$ )是唯一的待定参数,在[6]中已由  $e^+e^- \rightarrow 2\text{jets}$  中轻夸克喷注的 HRS 实验数据定出;

$$\beta = 3.6 \text{ GeV}^{-1}, \quad (10a)$$

将上述  $\beta, m$  值代入,得

$$\alpha = 1.046 \quad (10b)$$

因此,我们可直接从(10) (8)式计算  $T \rightarrow 3g$  三条色弦分别产生的夸克(反夸克)数. 显然,强子化前总的夸克对数

$$\langle N \rangle = \sum_{ij=12,23,31} [(1.094 + 3.6 M_{ij})^{\frac{1}{2}} - 1.046] \quad (11)$$

## (2) 夸克组合律

强子化前产生的各种  $q, \bar{q}$  如何转化为能观测的各种介子和重子,是所有碎裂模型要回答的核心问题. Lund 模型对介子产生的解释是直接了当的,但不能统一给出重子的产生. 为解释重子产生的现象,不得不另外引入双夸克对( $qq\bar{q}\bar{q}$ )激发机制、“爆米花(popcorn)”机制和七个自由参数. 即使如此,仍不能定量拟合  $e^+e^-$  连续区的各类重子产额及其随总能的变化<sup>[1,2]</sup>. 既然实验表明  $T \rightarrow 3g$  碎裂的突出特征是产生更多的各类重子,尝试用新的强子化模型取代 Lund 弦碎裂,是值得的.

在文献[10]中,我们专门研究了  $N$  对夸克随机组合为介子、重子的规律. 发现快度近关联是和 QCD 基本要求一致的,并唯一确定了夸克组合成介子、重子的规则——“夸克组合律”. 按这一组合律,  $N$  对夸克组合为  $M$  个介子、 $B$  个重子及反重子的几率为:

$$X_{MB}(N) = \frac{2N(N!)^2(M+2B-1)!}{(2N)!M!(B!)^2} 3^{M-1} \delta_{N,M+3B} \quad (12)$$

因此,  $N$  对夸克组合的介子、重子平均数为

$$\left. \begin{aligned} \bar{M}(N) &= \sum_M \sum_B M X_{MB}(N) \\ \bar{B}(N) &= \sum_M \sum_B B X_{MB}(N) \end{aligned} \right\} \quad (13)$$

实验都是测量对事例的平均值,即与  $\langle N \rangle, \langle B \rangle, \langle M \rangle$  对应的结果,如  $N$  的分布为  $P(N)$ ,则

$$\left. \begin{aligned} \langle M \rangle &= \sum_N P(N) \bar{M}(N) \\ \langle B \rangle &= \sum_N P(N) \bar{B}(N) \end{aligned} \right\} \quad (14)$$

如果  $P(N)$  为泊松分布,则  $\langle M \rangle, \langle B \rangle$  只与  $\langle N \rangle$  有关. 无任何可调参数,并直接由(12)–(14)算出. 在[11]中已算出对  $N \leq 10$  时:

$$\left. \begin{aligned} \langle M \rangle &= a \langle N \rangle + b \\ \langle B \rangle &= (1-a) \langle N \rangle / 3 - b/3 \end{aligned} \right\} \quad (15)$$

其中  $a=0.6577$ ;  $b=0.6848$

注意上面组合律算出的 $\langle M \rangle$ 、 $\langle B \rangle$ , 对应强子化直接产生的介子与重子。在[6]中, 我们象其它模型一样, 只考虑轨道角动量  $L=0, 1$  的介子, 及  $J^{PC}=\frac{3}{2}^+, \frac{1}{2}^+$  的  $L=0$  重子。并在[6]中已证明  $L=1$  介子约占直生介子的约  $\frac{1}{4}$ 。在[12]中已证明  $\frac{3}{2}^+$  重子与  $\frac{1}{2}^+$  重子的比例为 0.36。它们的  $SU_f(3)$  多重态的产生比率, 则满足奇异抑制度  $\lambda=0.3$  的  $SU_f(3)$  对称<sup>[12]</sup>。再利用粒子数据表给的不稳定粒子衰变分支比, 即可由已知的 $\langle N \rangle$  出发, 算出与实验测量结果对应的各种强子产额。现在的问题是如何将上述适用于  $q\bar{q}$  直弦 ( $e^+e^- \rightarrow q\bar{q} \rightarrow 2\text{jet}$ , 即属于这种情况) 的夸克组合律, 正确应用到  $T \rightarrow 3g$  封闭三角形色弦上? 是三根弦产生的  $q$ 、 $\bar{q}$  各自组合, 还是连在一起组合。从[10]中揭示的夸克组合律的动力学基础和要求快度近关联的实质, 无非是在一条直弦情况下, 当两个  $q$  或  $\bar{q}$  快度愈接近, 意味着两者相对运动愈慢、作用时间愈长。总来得及等  $q\bar{q}$  处于色单态而形成介子,  $qq$  处于 3 态先组合为双夸克等等。在  $T \rightarrow 3g$  情况, 虽然快度参量无法定义, 但仍可用  $T$  质心系中每两个  $q$  或  $\bar{q}$  的  $\Delta p = |\mathbf{p}_i - \mathbf{p}_j|$  反映它们发生相互作用时间的长短,  $\mathbf{p}_i, \mathbf{p}_j$  最接近的, 组合为强子, 不管它们是属于同一  $\langle N_{ij} \rangle$ , 或分属不同的  $\langle N_{ij} \rangle$ 。也就是说, 应把(11)式得到的三条直弦产生的所有夸克对  $\langle N \rangle$ , 代入(15)式, 一起组合为强子, 或简单概括为: 夸克按三条直弦产生, 按一条封闭三角形弦组合。

#### 四、碎裂产物的计算流程和结果

按上两节提出的原理和方法, 已可算出由任一角分布的三胶子所碎裂产生的任何强子  $h_i$  的平均产额  $\langle h_i \rangle$ 。但正如引言中已强调的,  $T$  衰变实验数据包括了所有角度分布的三胶子中间态的贡献, 理论上对应  $\langle h_i \rangle$  对  $T \rightarrow 3g$  Dalitz 图的整个物理区再求平均的结果:

$$\langle h_i \rangle = \int |m|^2 \langle h_i \rangle ds / \int |m|^2 ds \quad (16)$$

$ds$  与  $|m|^2$  的意义如第二节所述。下面同样用  $\langle N \rangle$ 、 $\langle M \rangle$ 、 $\langle B \rangle$  表示  $\langle N \rangle$ 、 $\langle M \rangle$ 、 $\langle B \rangle$  对 Dalitz 图上所有物理点, 即三胶子所有可能的角分布的平均结果。

Dalitz 图中任一物理点  $P$  可用极坐标  $P(R, \theta)$  标记,

这时三个胶子的能量(如图 2 所示)分别为:

$$\begin{aligned} E_1 &= (M_T/3) - R \cos(\theta - \pi/6) \\ E_2 &= (M_T/3) + R \cos(\theta + \pi/6) \\ E_3 &= (M_T/3) + R \sin \theta \end{aligned} \quad (17)$$

由(1)、(3)、(11)式并对物理区的  $R, \theta$  值范围积分, 即可得出

$$\langle N \rangle = \int \langle N \rangle |m|^2 ds / \int |m|^2 ds \quad (18)$$

在积分时, 为了除去三角形顶点的非物理点, 必须作截断, 我们取顶点附近的一个小等腰三角形作截除, 该三角形的高  $AE = 0.4 \text{ GeV}$ 。(见图 2)。经计算验证, (截去的三个小三角形的权重积分)/(物理区总的权重积分)  $< 0.027$ , 影响很小。计算得到,  $\langle N \rangle = 6.27$ , 表明

这时(15)式给出的  $\langle N \rangle$  与  $\langle M \rangle$ 、 $\langle B \rangle$  之间的线性关系是成立的, 因而可用

$$\begin{aligned}\langle M \rangle &= a\langle N \rangle + b \\ \langle B \rangle &= (1 - a)\langle N \rangle / 3 - b/3\end{aligned}\quad (19)$$

去计算  $\langle M \rangle$ 、 $\langle B \rangle$ , 然后按上节陈述的方法算出与  $T$  衰变测量对应的各种强子的产生率  $\langle h_i \rangle$ . 表 1 中列出了我们计算结果与 ARGUS 组测量结果的对照. 在无任何附加参数的情况下, 得到的全部八个重子理论值都在误差范围内与实验符合. 重子产生的实验数据(除  $p + \bar{p}$  外)全部取自文献[13]. 表 1 中介子的实验数据也来自同一实验组<sup>[14]</sup>,  $\pi^0, \eta, \phi$  与理论计算相符, 但  $\pi^\pm, K^\pm$  的理论值偏低.

表 1  $Y \rightarrow 3g \rightarrow h's$  中各种粒子产额(粒子数/每事例)的理论和实验值

粒子	测量结果	本文理论结果
$p + \bar{p}$	$0.507 \pm 0.028$	0.48
$\Lambda + \bar{\Lambda}$	$(2.28 \pm 0.03 \pm 0.21) \times 10^{-1}$	$2.08 \times 10^{-1}$
$\Xi^- + \bar{\Xi}^-$	$(2.06 \pm 0.17 \pm 0.23) \times 10^{-2}$	$2.23 \times 10^{-2}$
$\Sigma^0 + \bar{\Sigma}^0$	$(5.64 \pm 1.69 \pm 1.13) \times 10^{-2}$	$5.67 \times 10^{-2}$
$\Sigma^-(1385) + \bar{\Sigma}^-(1385)$	$(1.42 \pm 0.17 \pm 0.20) \times 10^{-2}$	$1.78 \times 10^{-3}$
$\Sigma^+(1385) + \bar{\Sigma}^+(1385)$	$(1.68 \pm 0.29 \pm 0.23) \times 10^{-2}$	$1.78 \times 10^{-3}$
$\Xi^0(1530) + \bar{\Xi}^0(1530)$	$(4.78 \pm 1.14 \pm 0.62) \times 10^{-3}$	$5.87 \times 10^{-3}$
$\Omega^- + \bar{\Omega}^-$	$(1.83 \pm 0.62 \pm 0.32) \times 10^{-3}$	$1.76 \times 10^{-3}$
$\pi^+ + \pi^-$	$7.55 \pm 0.14$	6.98
$K^+ + K^-$	$0.906 \pm 0.016 \pm 0.023$	0.61
$\pi^0$	$3.917 \pm 0.23 \pm 0.38$	3.73
$\eta$	$0.40 \pm 0.14 \pm 0.09$	0.28
$\phi$	$0.0545 \pm 0.0022 \pm 0.0034$	0.046

## 五、小结

$T$  衰变能够准确提供胶子碎裂的信息. 十多年实验研究, 尤其是近来 ARGUS 组的精细测量, 发现它和  $q\bar{q}$  碎裂的根本区别是重子产生成倍增多. 至今还没有模型能定量说明.

本文将  $q\bar{q}$  碎裂的夸克产生律和组合律, 推广到  $3g$  系统的色弦碎裂, 假定夸克按其中三条直弦分别产生, 然后按总的曲弦组合. 不附加任何参数, 预言的各种粒子产额, 和实验符合得较好. 这也表明 Lund 模型中  $T \rightarrow 3g$  的色弦图象基本上是合理的, 但其弦碎裂模型不能很好反映重子的产生规律.

ARGUS 组对  $q\bar{q}$  碎裂连续区及  $T$  共振区的重子产生规律, 还进行了其它深入的实验研究, 如奇异抑制, “自旋抑制”, 重子-反重子味道关联,  $\Lambda(1520)$  的产生, 双重子  $pp$  和  $\Lambda\bar{\Lambda}$  产生率, 重子分数动量谱等, 发现都与 Lund 模型预言不符, 但前四项, 已在我们的随机组合模型框架中得到了自然解释<sup>[12,15]</sup>. 所以, 本文的结果并非偶然.

感谢刘希明、陈鄂生、王群等同志的多次讨论。作者之一(谢去病),感谢 ARGUS 组 D. Wegener 教授的讨论及提供的全部实验信息。

### 参 考 文 献

- [1] T. Sjostrand, *Int. J. Mod. Phys.*, **A3**(1989), 751.
- [2] W. Hofmann, *Ann. Rev. Nucl. Part. Sci.*, **38**(1988), 279.
- [3] B. Andersson et al., *Phys. Scripta*, **32**(1985), 574.
- [4] H. Scheck, *Nucl. Phys. B(proc. Suppl.)*, **1B**(1988), 291.  
D. Wegener , in proceedings of International Symposium on Multiparticle Dynamics ,eds. Wu Yuanfang and Liu Lianshou(World Scientific,Singapore 1992),P. 107.
- [5] 田丽丽等,高能物理与核物理,17(1993),第8期.
- [6] Xie Qubing ,Liu Ximing, *Phys. Rev.*, **D38**(1988), 2169.
- [7] 李政道:《粒子物理和场论简引》,科学出版社,1984,P. 267;  
或章乃森编著《粒子物理学》上,科学出版社,1986,P. 124.
- [8] A. Ore, J. L. Powell, *Phys. Rev.*, **74**(1949), 1696.
- [9] Harald Fritzsh et al. ,*Phys. Lett.* **B74**(1978), 907;  
S. T. Brodsky et al. ,*Phys. Lett.* **B73**(1978), 203.
- [10] 谢去病等,《高能物理与核物理》,8(1984),642.  
或 Xie Qubing, Proc. of XIX International Symposium on Multiparticle Dynamacs, eds. D. Schiff and J. Tran Thanh Van (World Scientific, 1988), P. 369.
- [11] Chen Zhijiang et al. ,*J. Phys. G:Nucl. Phys.*, **14**(1988), 1339.
- [12] 谢去病,高能物理与核物理,16(1992),22.  
Xie Qubing, Proc. of XIX International Symposium on Multiparticle Dynamics, eds. Wu Yuanfang and Liu Lianshou(World Scientific, Singapore 1992),P340.
- [13] H. Albrecht et al. ,(ARGUS), *Z. Phys.* ,**C39**(1988), 177.
- [14] H. Albrecht et al. ,(ARGUS), *Z. phys.* ,**C41**(1989), 557; **C44**(1989), 547;  
**C46**(1990), 15.
- [15] Liang Zuotang, Xie Qubing, *Phys. Rev.* ,**D43**(1991), 751.

### Gluon Fragmentation in T Decay

TIAN LILI

*(Department of Physics,Ji'nan University, 250002)*

XIE QUBING

*(Department of Physics,Sandong University, 250100)*

#### ABSTRACT

Up to now,no model can reproduce the baryon rates measured by ARGUS collaboration in direct T decays ,except a qualitative explanation given by Lund model. Instead of the string fragmentation model in Lund picture, we apply the quark production rule and combination rule for  $q\bar{q}$  fragmentation to the colour string for  $T \rightarrow 3g$ . The results agree well with ARGUS data without extra parameter.